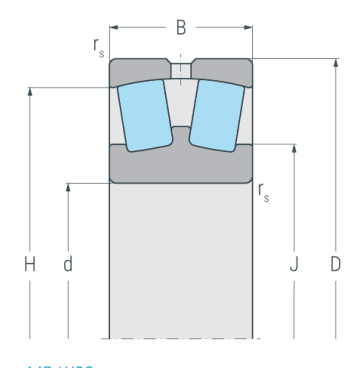
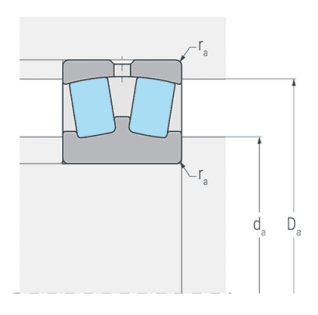


# 21319MB.W33

Pendelrollenlager, kegelige Bohrung, zweireihig, Umfangsnut mit drei Schmierbohrungen am Außenring, Messingkäfig, Ringe und Wälzkörper aus Qualitätswälzlagerstahl



MB.W33



### **Abmessungen**

d	(mm)	95	Bohrungsdurchmesser
D	(mm)	200	Außendurchmesser
В	(mm)	45	Breite
r <sub>s min</sub>	(mm)	3	minimaler Kantenabstand
н	(mm)	167	Borddurchmesser Außenring
J	(mm)	133	Borddurchmesser Innenring

#### **Anschlussmaße**

d <sub>a min</sub>	(mm)	109	minimaler Durchmesser der Wellenschulter
D <sub>a max</sub>	(mm)	186	maximaler Durchmesser der Gehäuseschulter
r <sub>a max</sub>	(mm)	2.5	maximaler Rundungsradius

#### Leistungsdaten

C <sub>r</sub>	(kN)	360	dynamische Tragzahl, radial
$\mathbf{C}_{\mathrm{or}}$	(kN)	480	statische Tragzahl, radial
$\mathbf{C}_{\mathrm{ur}}$	(kN)	44.1	Ermüdungsgrenzbelastung, radial
$\mathbf{n}_{G}$	(min <sup>-1</sup> )	4400	Grenzdrehzahl
n <sub>B</sub>	(min <sup>-1</sup> )	3200	Bezugsdrehzahl

#### **Gewicht**

|--|



# 21319MB.W33

Pendelrollenlager, kegelige Bohrung, zweireihig, Umfangsnut mit drei Schmierbohrungen am Außenring, Messingkäfig, Ringe und Wälzkörper aus Qualitätswälzlagerstahl

### Berechnungsfaktoren

e	0.23	Grenzwert für F <sub>a</sub> / F <sub>r</sub>
<b>Y</b> <sub>1</sub>	2.9	dynamischer Axiallastfaktor für $F_a / F_r \le e$
<b>Y</b> <sub>2</sub>	4.2	dynamischer Axiallastfaktorfür $F_a / F_r > e$
Y <sub>0</sub>	2.8	statischer Axiallastfaktor